

# 砖烟函活版设计 及简易计算法

化学工业部橡胶工业研究設計院  
北京師範大學數學系 合著

化学工业出版社

# 磚烟囱活版設計及簡易計算法

化学工业部橡胶工业研究設計院 合著  
北京师范大学数学系

化学工业出版社

本书介紹砖烟囱設計活版化及其計算的图表化。砖烟囱設計的活版化是运用若干块单元定型图片拼排的方法設計成各种不同口径和不同高度的砖烟囱雛型，經過必要的加工即可成为完整的砖烟囱的設計图纸；砖烟囱設計的图表化是用查閱图表的方法代替以往繁瑣的計算方法来进行各种类型的烟囱設計計算，而这些图表是根据烟囱計算的規律繪制而成的。由于砖烟囱的設計活版化与計算图表化的配合运用，大大簡化了設計工作，提高了設計效率，从而保証了工程設計的質量。

本书主要叙述砖烟囱单元定型图片設計原理及其应用、烟囱的各种应力計算、基础計算，以及算图应用及計算实例等。同时书末还附有各种砖烟囱簡易計算图，以供設計計算应用。

本书可供土建专业的研究、設計及施工人員，以及高等院校和中等专业学校的师生閱讀和参考。

### 砖烟囱活版設計及簡易計算法

化学工业部橡胶工业研究設計院 合著  
北京师范大学 数学系

化学工业出版社出版 北京安定門外和平北路

北京市书刊出版业营业許可証出字第092号

化学工业出版社印刷厂印刷 新华书店发行

开本：487×1092毫米<sup>1/16</sup> 1959年10月第1版

印张：1<sup>4</sup>/<sub>16</sub> 插頁：27 1959年10月第1版第1次印刷

字数：15千字 印数：1—3000

定价：(10) 0.32元 书号：15063·0570

## 目 录

前 言.....	4
第一章 砖烟囱单元定型图片的設計和应用.....	6
第一节 单元定型图片設計的原理.....	6
第二节 单元定型图片的应用.....	9
第二章 砖烟囱簡易計算法.....	12
第一节 应力.....	12
第二节 基础計算.....	19
第三节 图表应用与实例.....	20
砖烟囱簡易計算图.....	23

★

★

★

## 前　　言

在党的正确领导下，我院研究成功了活版設計法，使长期以来手工方式的設計方法，一变而为用玻璃图片拼排的設計法，使設計工作推向了一个新的阶段。这种設計方法已經在国内外各种专业的設計工作中得到了不同程度的推广和应用，并通过各方面的使用，使活版設計法得到了进一步改进和完善。

活版設計法研究成功之后，党又提出了必須在工程設計中进一步开展活版化的任务。我們在社会主义建設总路綫的光輝照耀下和大鬧技术革命的鼓舞下，鼓足了革命干劲，在很短的时间內，使烟囱的設計也活版化了。首先突破了活版設計在特殊构筑物設計上的应用，使活版設計法的研究提高了一步。

砖烟囱的設計，在过去只要高度、直径或烟道稍有不同，就必須重新設計、計算。同时高度和上口径变化的幅度也是非常大的。如果采用定型設計，将各种高度和各种直径以及各种烟道的烟囱設計方案組合起来，那么至少就需要几百个烟囱的定型設計，才能滿足各种烟囱的高度和直径及烟道的变化情况，因此这将是一种非常困难的工作，而烟囱活版設計法却从根本上解决了这一困难，各种高度、直径和烟道均能灵活地拼湊，而得到所需的施工图纸。

砖烟囱活版設計法的成功，突出地显示了活版設計法所具有的优越性和灵活性，充分証明了工程設計工作，只要掌握了事物客观变化的规律和特点，均可进行活版設計。打破了有些人認為特殊結構不能活版化的片面看法。

采用活版設計法进行砖烟囱設計，可以提高設計工作效率三十倍左右，并可完全保証质量。消灭了設計工作中許多重复劳动。无论工厂企业、工人村住宅区、热电站都必须有动力蒸气鍋炉或采暖鍋炉，既有鍋炉就要有烟囱，而所有的砖烟囱結構基本上都是相同的，一套烟囱的单元定型图片全国皆能适用。因此烟囱的活版設計法具有很大的普遍意义。

在砖烟囱設計的結構計算部分，过去也是比較麻煩的，而每个烟囱計算的內容基本上都是一样的，仅其中数字大小不同而已。計算的工作量在整个烟囱設計工作中占很大的比例，如果还是照老办法計算的話，既不能符合多快好省的設計方針，又跟不上設計活版化的速度。因此摆在我們面前的任务之一，就是要想尽一切办法克服困难，解决矛盾，使烟囱設計計算图表化。

我院原土建科和北京师范大学数学系本着共产主义的协作精神，合作研究簡化烟囱的結構計算。在师大党委的支持下，同學們反复钻研，苦战一月，終於研究成功了一整套計算的图表，只要查几张图表即可得到在各种情况下的应力。大大地簡化了計算工作和提高計算效率，这是一項在烟囱結構計算上的革新。这种合作研究的方法也證明了党的教育方針的正确——教育、科学研究与生产結合在設計工作上开出了鮮艳之花，結出了丰硕之果，并使烟囱活版設計法更加完整，大大地提高了整个設計的效率。

由于我們的政治和技术水平有限，书中錯誤和不到之处一定不少，热誠地欢迎讀者批評指正。

# 第一章

## 砖烟囱单元定型图片的設計和应用

### 第一节 單元定型图片設計的原理

單元定型图片的設計是活版設計法的重要关键，主要的标准是图片的种类是否能减少到最低程度，而又能具有高度的灵活性，既能通用，又能应变。这就要充分掌握事物客观变化的规律。每个烟囱的设计都有其不同点和相同点。烟囱的高度和直径各有不同，这是它互相矛盾之处；但是每一細小部分的构造无非都是砖烟囱壁、耐火砖衬壁、烟道口，以及基础等等，因此这也是它相互統一的地方。毛主席在“矛盾論”中一开头就說：“事物的矛盾法則，即对立統一的法則，是唯物辯証法的最根本的法則”。●尽管烟囱大小高低各有不同，但它总是矛盾的統一体，統称都叫烟囱。烟囱的活版設計必須紧紧抓住高度和直径的变化规律，以及在构造上相互統一之处，进行分片。在构造上相同之处便把它定型，而經常变化的高度和直径就利用图片的拼排来解决。

在烟囱的总图上，通常都以中心綫为界，一半表示剖面，一半表示立面。在剖面的一部分表示各段烟囱外壁的厚度、耐火砖衬壁的厚度及高度、各个节点的构造，以及基础剖面、埋置深度等。为便于高度的变化作成2m、3m甚至1m，0.5m的定型图片，如图1所示。

在立面图的一部分表示爬梯、保护圈等等，相应地亦作成各种高度的定型图片，这些图片无论設計哪种砖烟囱都是适用的。

烟囱的坡度和高度与直径的变化无关，因此可以固定为3%的坡度。为了便于高度和直径变化的灵活，无论立面及剖面的单元定型图片都做成二边为3%斜度的平行四边形图片。

在烟囱的立面片和剖面片中間，可填充一系列的空白填充片。由于烟囱上口径小，下口径大，因此填充片也成为梯形，梯形的两边仍以3%的坡度倾斜。有了剖面片、立面片和填充片以后，即可拼排成各种砖烟囱的图样，如图1所示。砖烟囱的各种詳图，如各段的横断面、基础大样等，也是事先画好的定型图片，根据各种情况可选择采用。各种类型的砖烟囱断面如图2～5所示。其烟道口、出灰口基础詳图如图6所示。

● 毛澤東選集第一卷，矛盾論，第287頁，人民出版社，1958年7月，北京第二版。

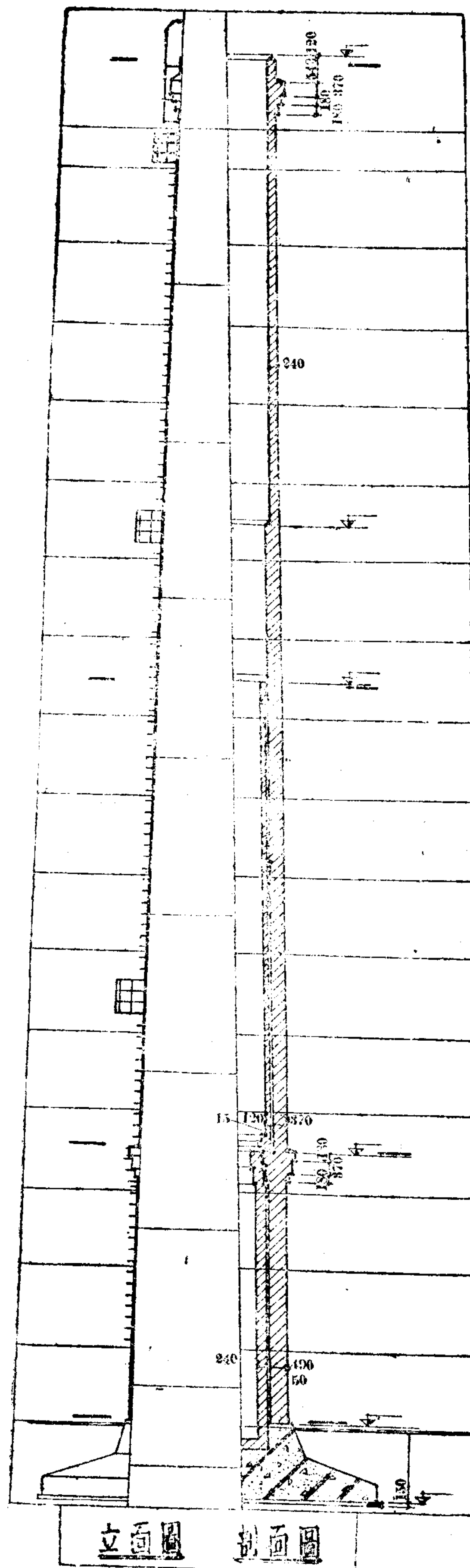


图 1 用单元定型图片拼成的砖烟囱设计图

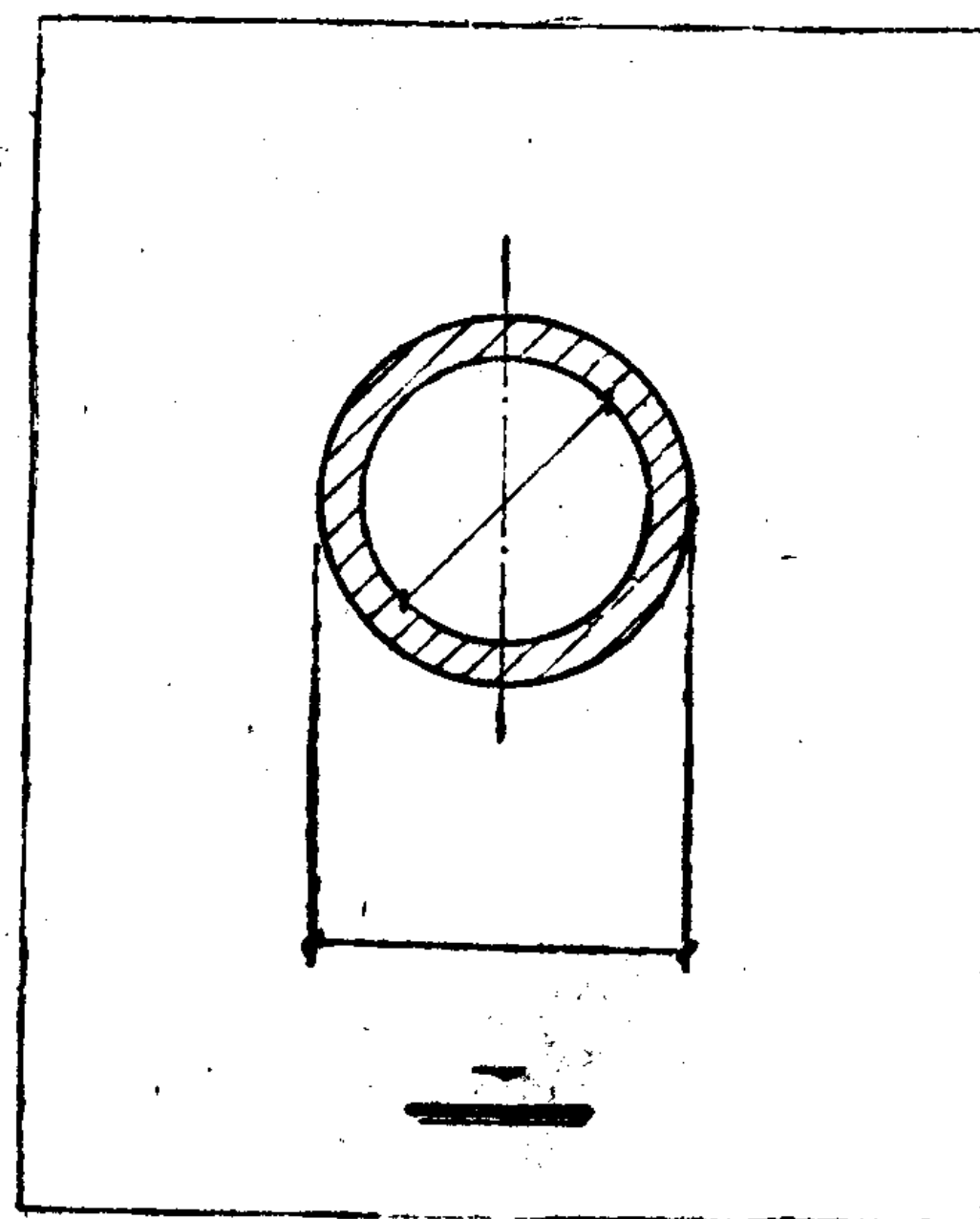


图 2 砖烟囱断面之一

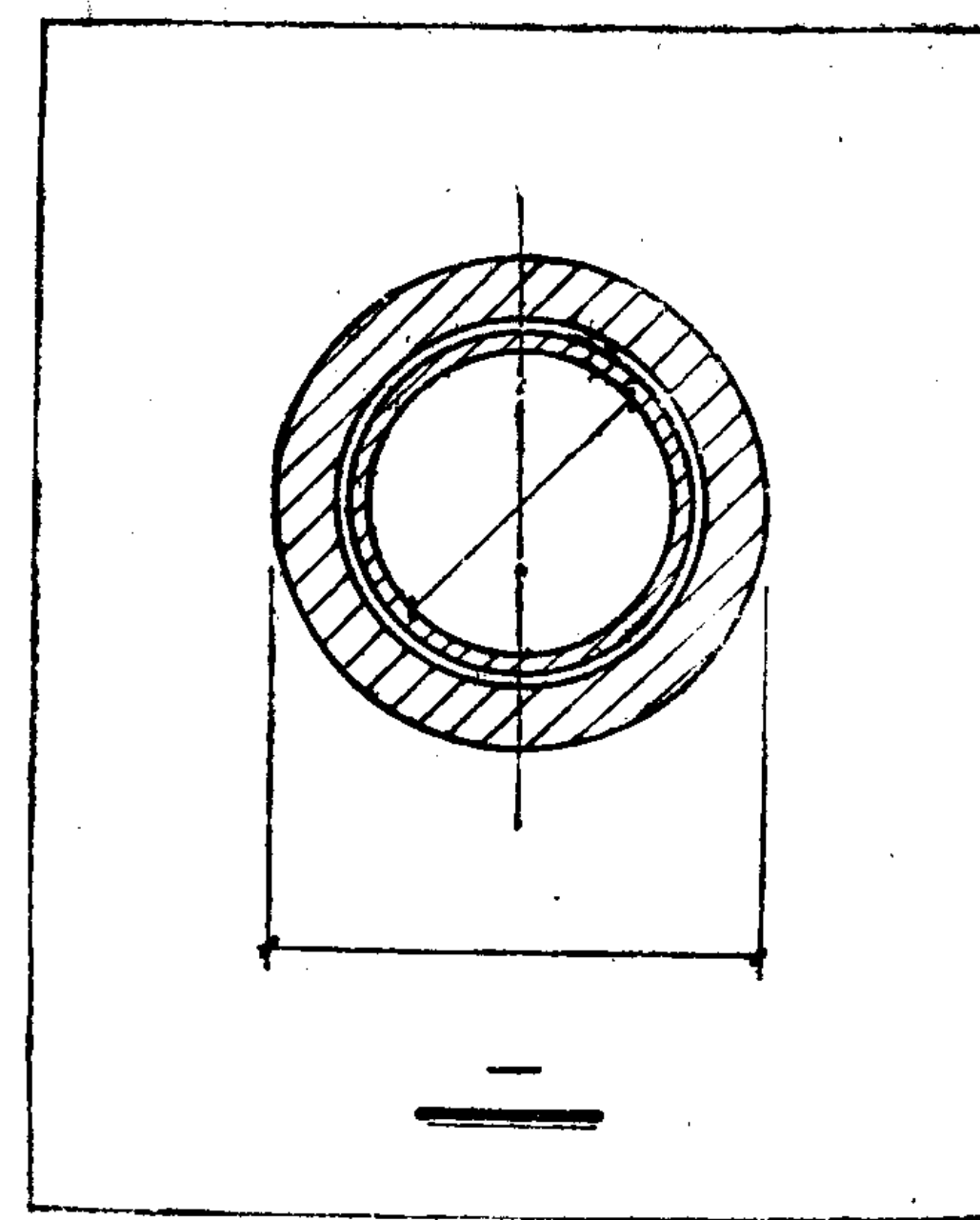


图 3 砖烟囱断面之二

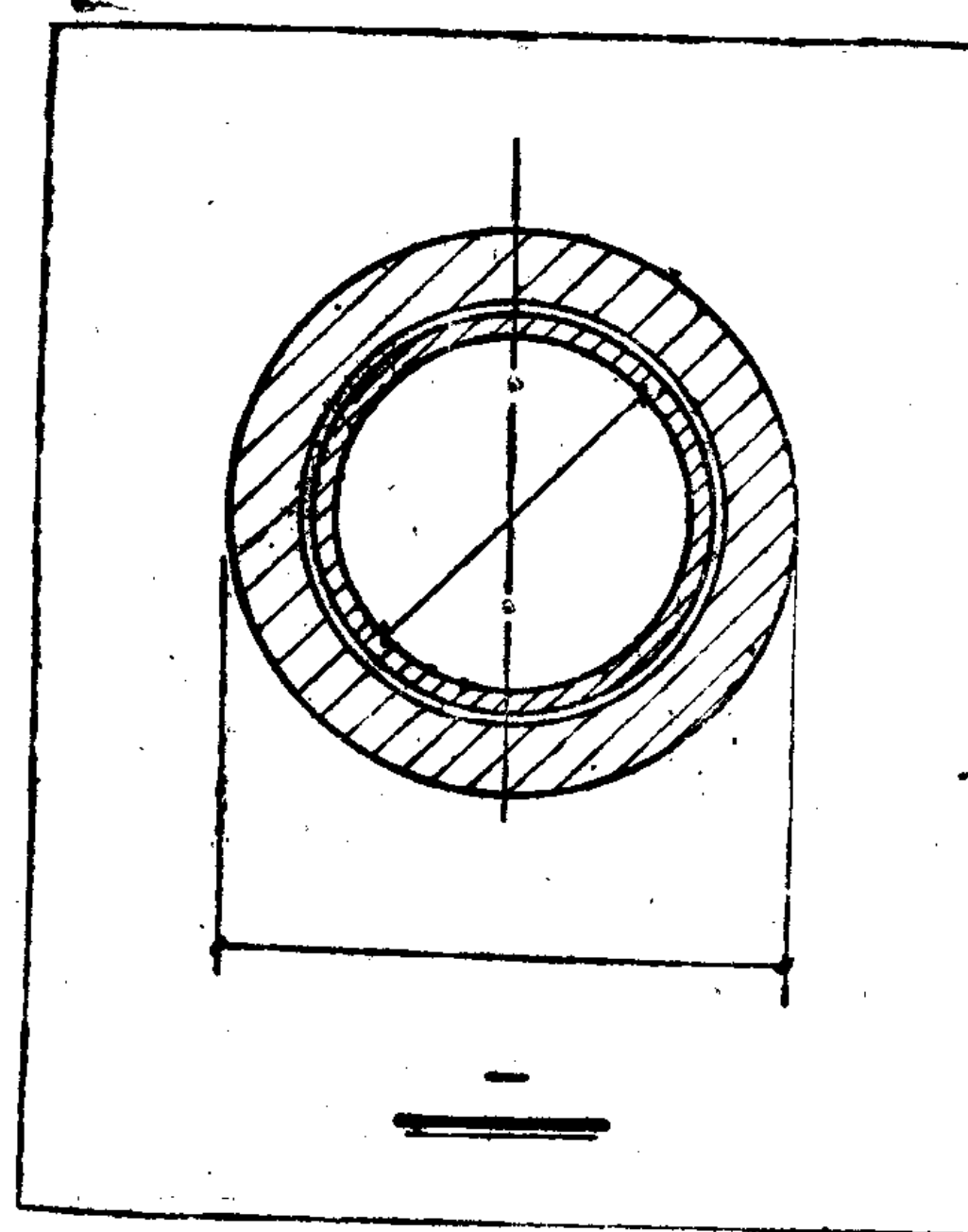


图 4 砖烟囱断面之三

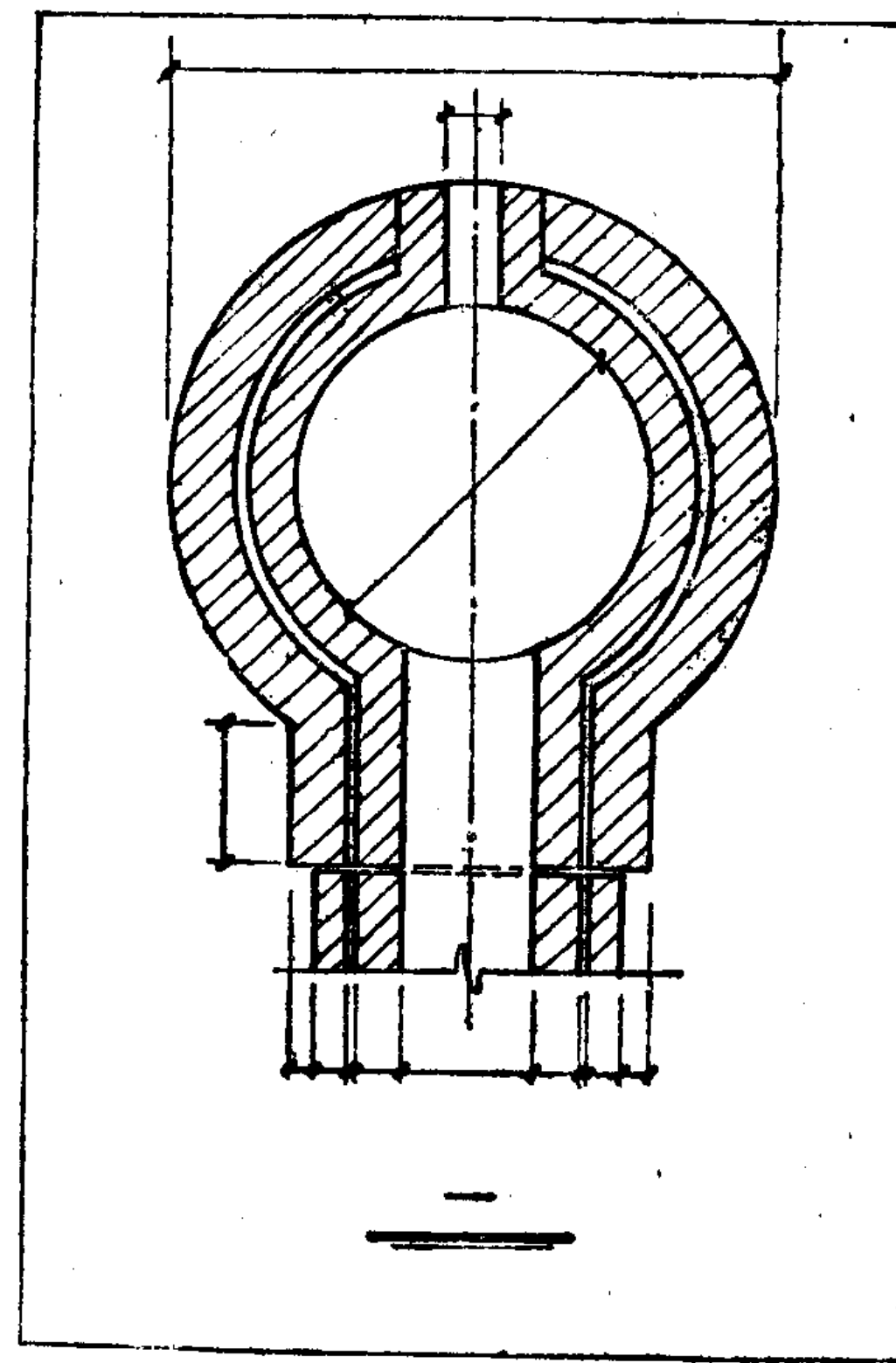


图 5 烟道口断面图

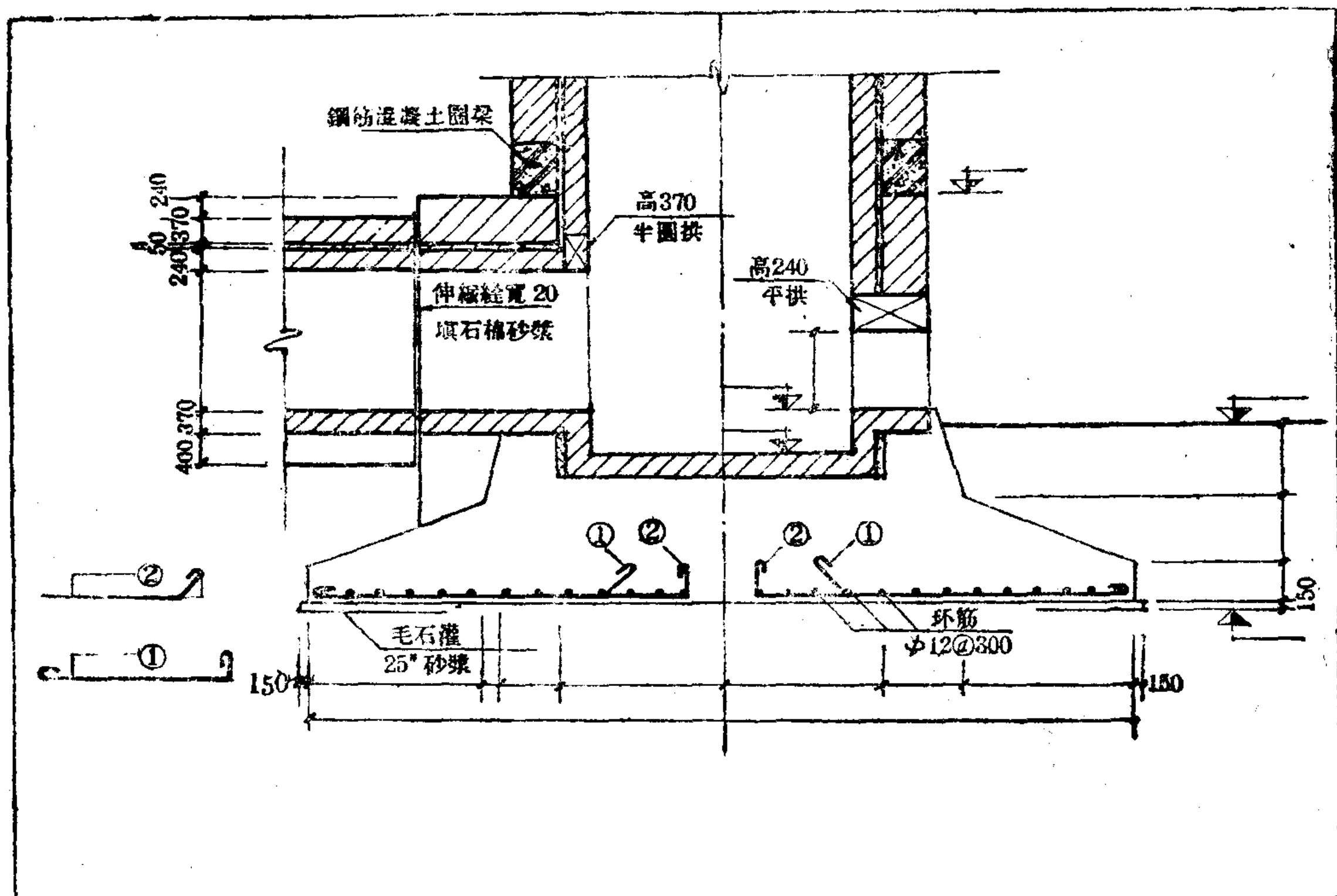


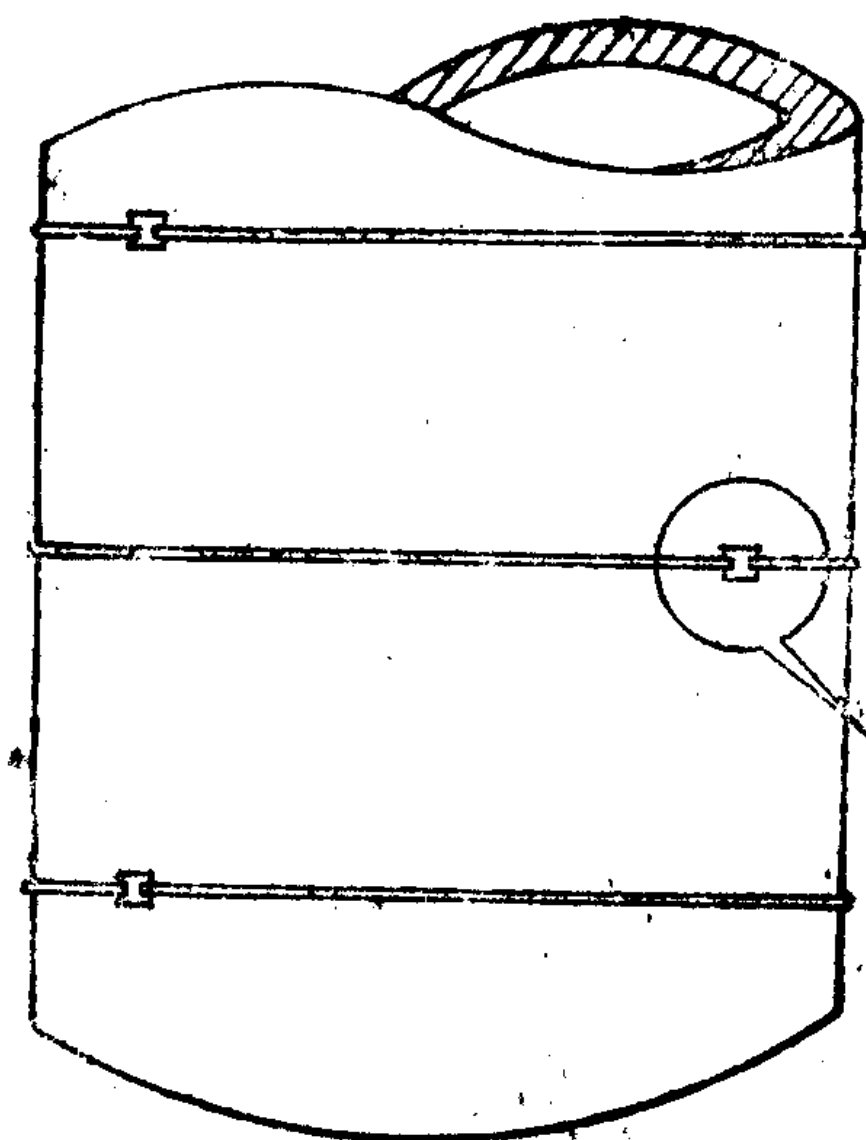
图 6 砖烟囱烟道口、出灰口及基础详图

## 第二节 單元定型图片的应用

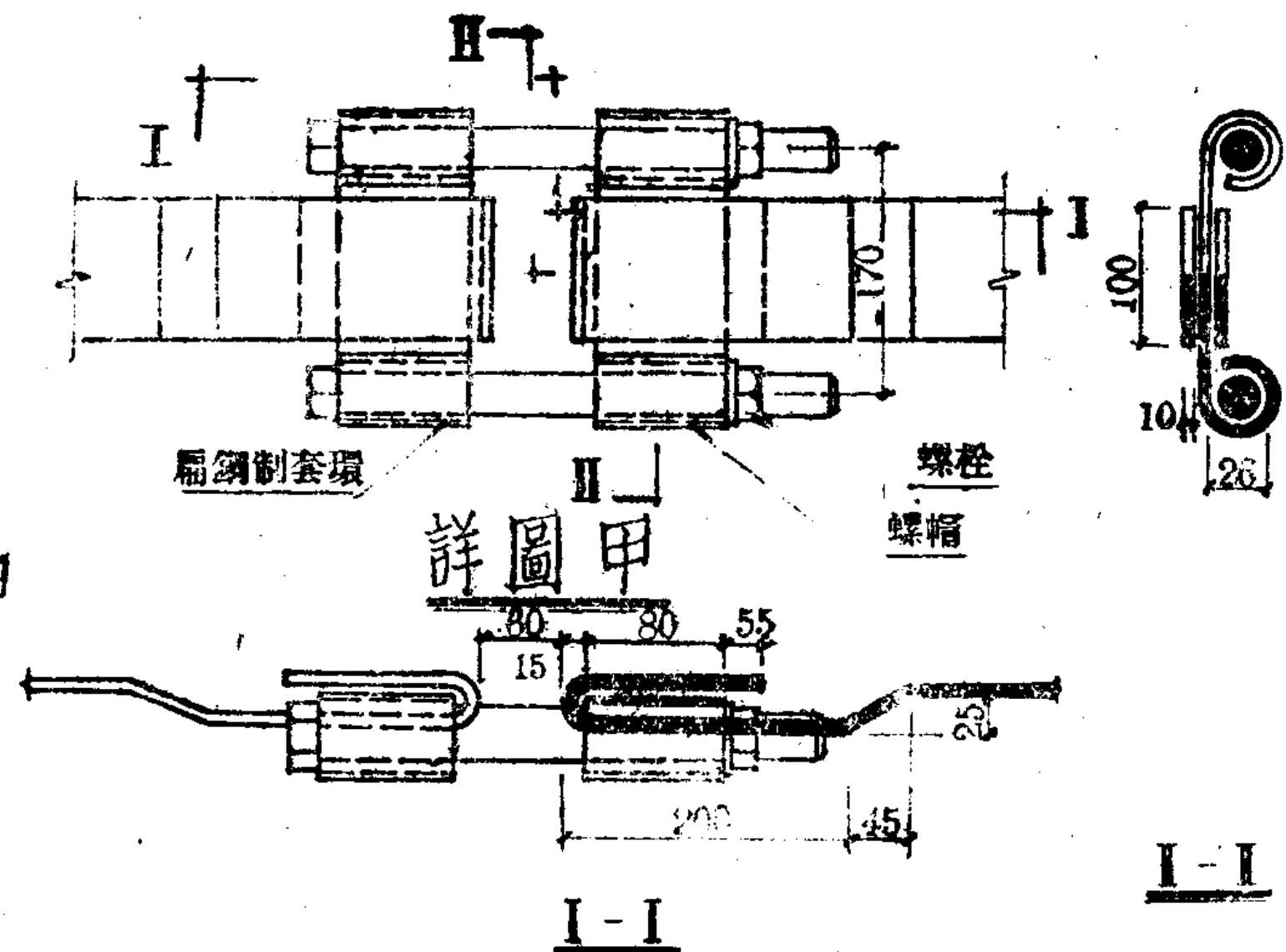
上节已經說明了单元定型图片的設計原理，但如何利用这些图片可以非常灵活地拼排成各种要求的烟囱图纸呢？在前言中已經談过，各种烟囱的变化，主要是高度及直径，在高度方面的变化就利用定型图片的多少来解决，高則多拼几块，低則少拼几块。如单元定型图片做成 2 m 高一块，则只能拼成双数高度的烟囱，但只要补充一块 1 m 高或 0.5 m 高的图片，即可拼成各种高度的烟囱，通常烟囱的高度以 1 m 进位已是完全可以滿足需要了。

在直径方面的变化主要是利用中間梯形的填充片。由于梯形片上小下大，因此只要把中間一列填充片向上推，上口径就逐渐变大，反之，愈往下推则上口径就会愈小，所以这样便能設計出各种口径的烟囱了。

立面的一边有爬梯及保护圈，根据設計的意图来布置保护圈的间距。剖面的一边，利用将在第二章詳述的烟囱簡易計算法就很快地可以决定各段砖墙厚度，以及根据溫度决定衬壁的高度和厚度，选用各种需要的定型图片进行拼排。拼排以后晒成二底图便得到一张設計图的雛型了。在这张二底图上只要将各段的标高、尺寸、横断面上的直径以及基础的大小配筋，根据具体条件稍为加工添注一下，便成为一张完整的設計图。至于砖烟囱上的鐵件詳图是用定型图纸的，如图 7 所示。



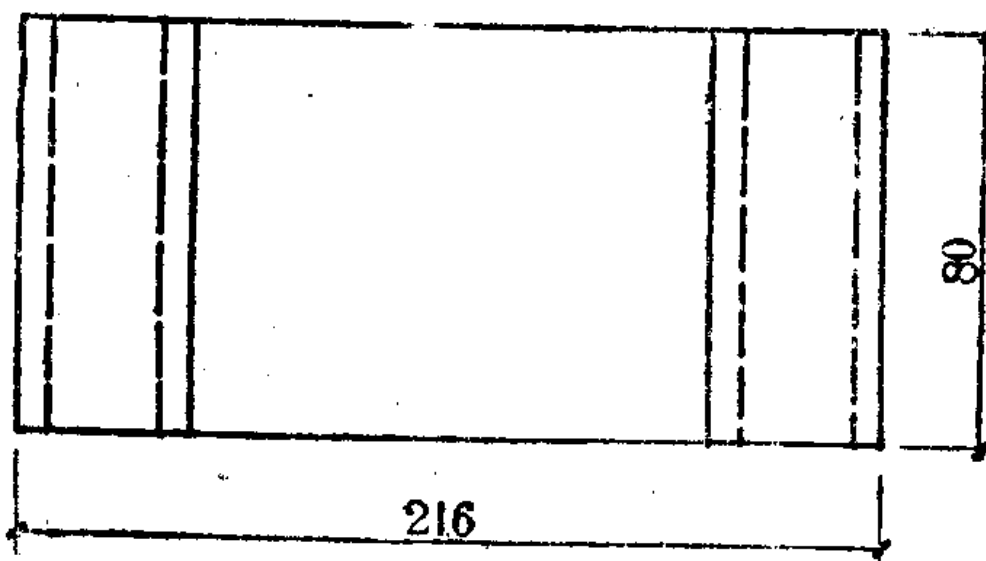
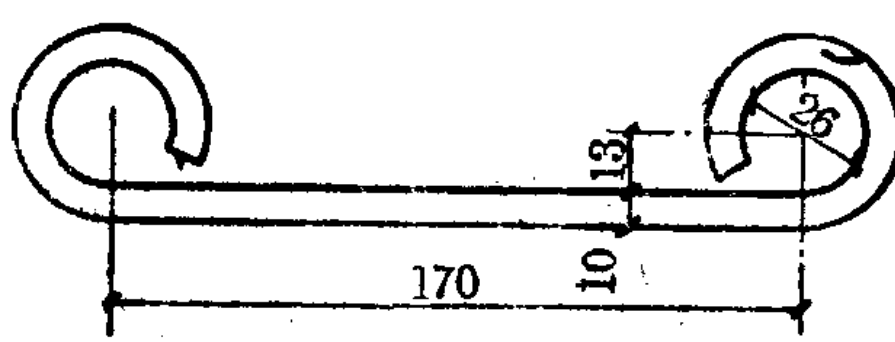
詳圖甲



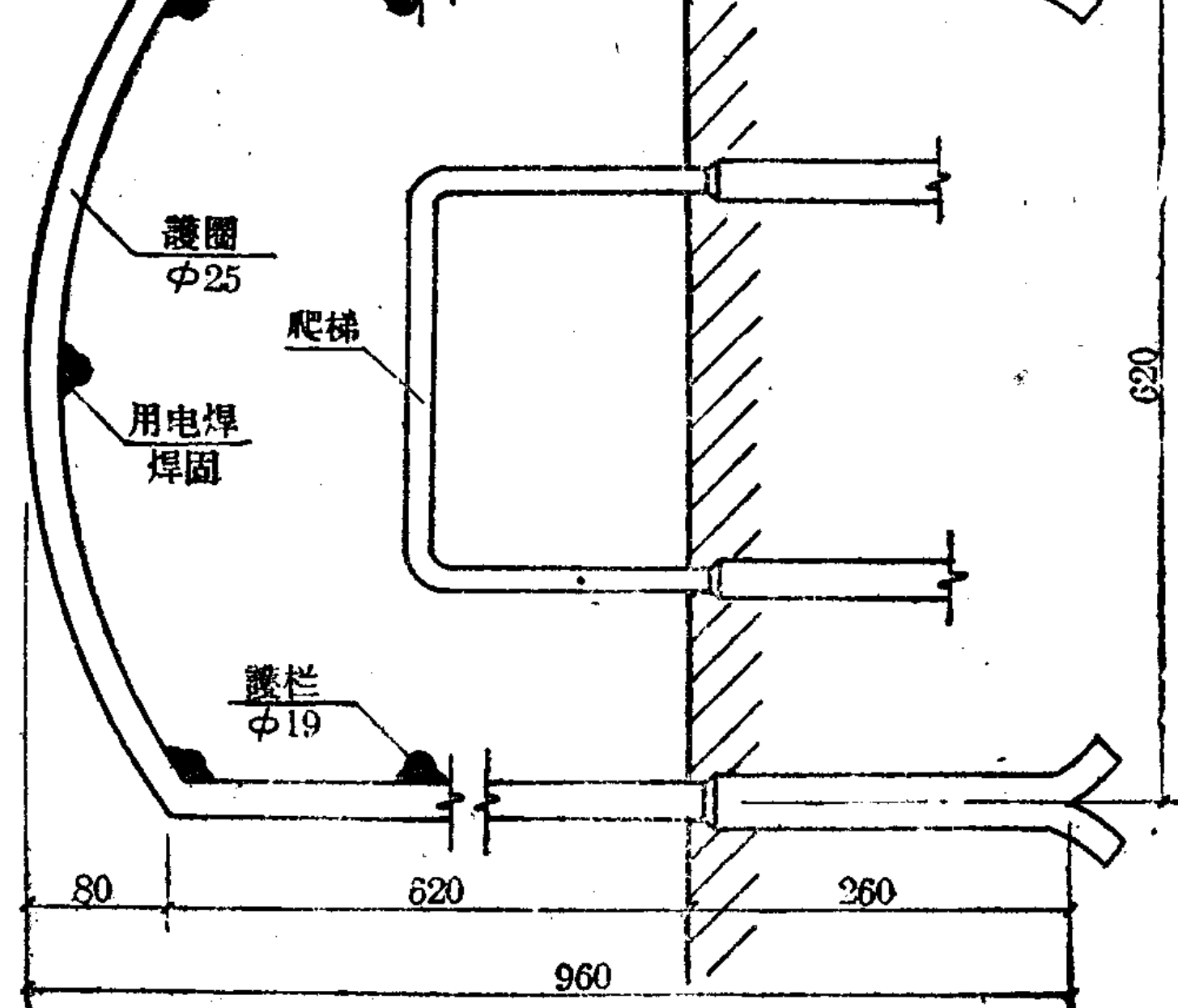
詳圖甲

I-I

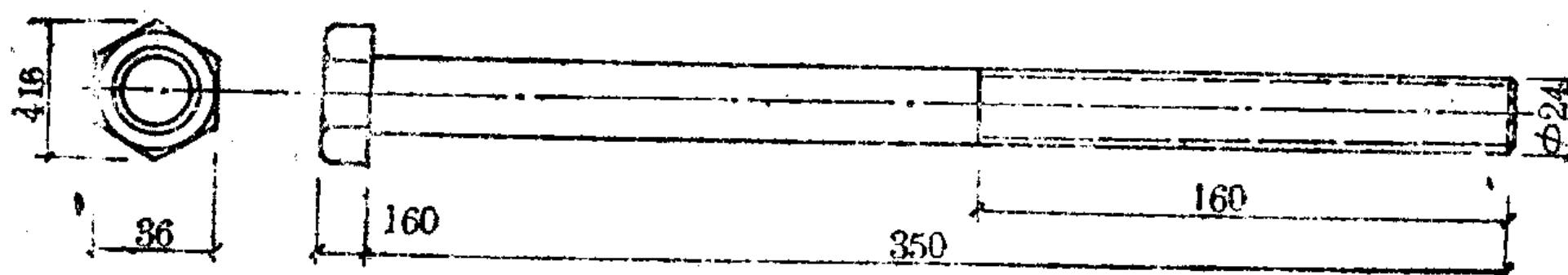
II-II



II



III



IV

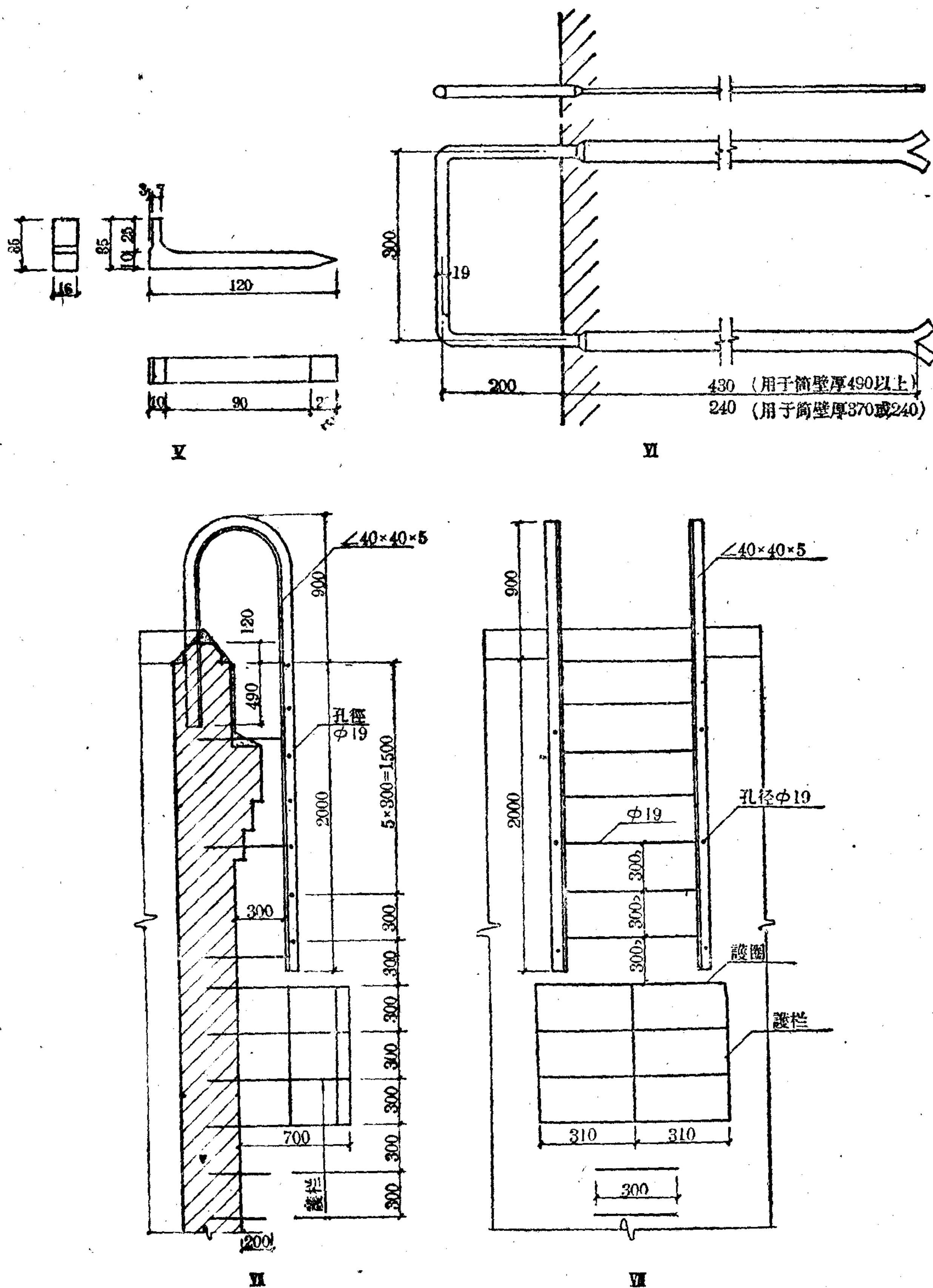


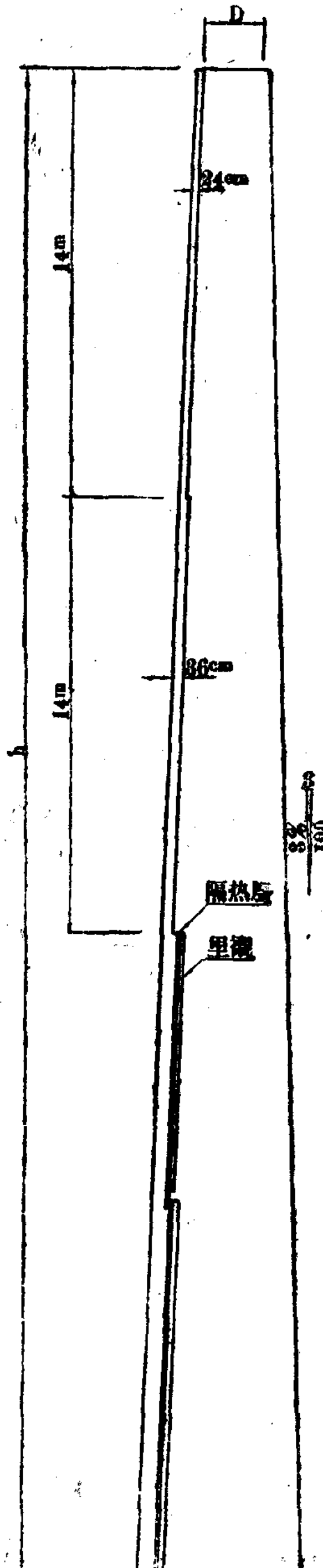
图 7 砖烟囱铁件详图

I—铁箍立面; II—扁钢制套环; III—护圈与护栏; IV—螺栓(1~2); V—一道钉; VI—爬梯;  
VII—烟函顶部爬梯侧面图; VIII—烟函顶部爬梯立面图。

## 第二章

### 磚烟囱簡易計算法

砖烟囱的结构計算，在过去也是比較麻烦的，并且計算在整个烟囱設計的过程中占



很大的比例。为了使設計人員从煩杂的計算中擺脫出来，配合烟囱的活版化，以可达到共同跃进、全面地提高設計效率的目的，我們在大鬧技术革命的鼓舞下，克服了不少困难，大胆地对計算工作进行了革新，創造了一系列的图表，只要根据已知的設計資料，查閱图表并进行简单的計算，即可完成整个設計工作。下面就各種計算图表的設計原理，以及应用方法詳細分节闡述，其設計的基础資料（见图8）如下。

1. 高度( $h$ ) 30~60m;
2. 净上口内径( $D$ ) 1~2m;
3. 烟囱坡度 3 %;
4. 分段：除最底下第一段和第二段外，每段設为 14m 高;
5. 第一段（从頂上往下計）砖厚 24cm，每增加一段增加半块砖厚(12cm);
6. 里衬厚度：烟囱最后一段为 24cm，以上 均为 12cm;
7. 隔热层为5cm。

#### 第一节 应 力

应力包括：由筒身及里衬的重量所产生的应力（简称自重应力）；由风力的弯矩所引起的应力（简称风弯矩应力）；由地震惯性力所引起的应力（简称地震应力）。

##### I. 自重应力( $\sigma_1$ )：其計算公式如下：

图 8 烟囱計算的基本假定

$$\sigma_1 = \frac{N_1 + N_2}{\varphi F} = \frac{N_1}{\varphi F} + \frac{N_2}{\varphi F} = \sigma'_1 + \sigma''_1$$

(一) 简身的重量所产生的应力( $\sigma'_1$ ) (见算图 1), 其計算公式如下:

$$\sigma'_1 = \frac{N_1}{\varphi F} = \frac{1.8 \times V_1}{\varphi F}$$

式中:  $1.8 \text{t/m}^3$  是砖的容重;

$V_1$  是简身的体积;

$F$  是简身任意高度的截面积;

$\varphi$  是屈折系数。

### 1. 体积( $V_1$ )公式的推导:

烟囱简身的体积是两个圆台体积的差(图 9)。

它的計算公式是:  $V_1 = \pi d h (D + d + 0.03 h)$

式中:  $h$  是从顶往下計算。

但是, 因为烟囱各段简身厚度和内径不同, 所以各段的計算公式有所不同。

第一段( $h$  自  $0 \sim 14 \text{m}$ ):

$$V_1 = \pi d h (D + d + 0.03 h)$$

第二段( $h$  自  $14 \sim 28 \text{m}$ ):

$$V_1 = \pi d h (D + d + 0.03 h) + \pi \left( \frac{d}{2} \right) (h - 14) \left[ D_1 + \left( \frac{d}{2} \right) + 0.03(h - 14) \right]$$

第二段的体积可以看作是内径为  $D$ , 厚度为  $d$ , 高度为  $h$  的圆台差的体积与内径为  $D_1 = (D + 0.06 \times 14 - d)$ , 厚度为  $\left( \frac{d}{2} \right)$ , 高度为  $(h - 14 \text{m})$  的圆台差的体积之和。

同理, 第三段( $h$  为  $28 \sim 42 \text{m}$ ):

$$V_1 = \pi d h (D + d + 0.03 h) + \pi \left( \frac{d}{2} \right) (h - 14) \left[ D_1 + \frac{d}{2} + \right.$$

$$\left. + 0.03(h - 14) \right] + \pi \left( \frac{d}{2} \right) (h - 28) \left[ D_2 + \frac{d}{2} + 0.03(h - 28) \right]$$

式中:  $D_2 = D + 0.06 \times 28 - 2d$

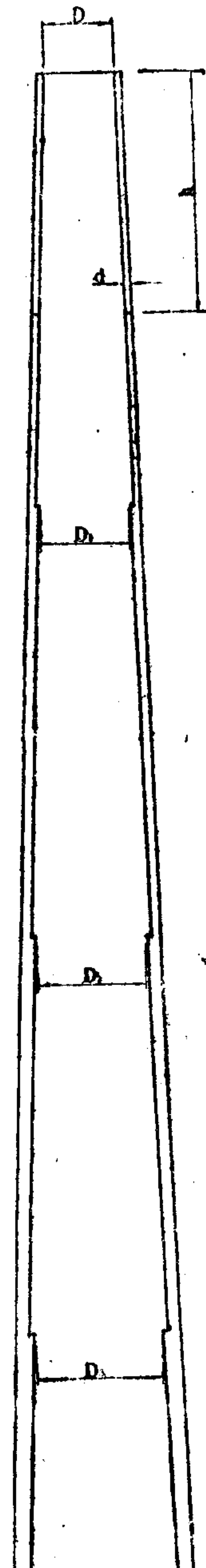


图 9 简身体积計算草图

第四段( $h$ 为42~60m)

$$V_1 = \pi dh(D + d + 0.03h) + \pi\left(\frac{d}{2}\right)(h-14)\left[D_1 + \frac{d}{2} + 0.03(h-14)\right] \\ + \pi\left(\frac{d}{2}\right)(h-28)\left[D_2 + \frac{d}{2} + 0.03(h-28)\right] \\ + \pi\left(\frac{d}{2}\right)(h-42)\left[D_3 + \frac{d}{2} + 0.03(h-42)\right]$$

式中:  $D_1 = D + 0.06 \times 42 - 3d$

根据  $N_1 = 1.8 V_1$ , 可以作出关于筒身重量的图象(见算图2)。

## 2. 截面积( $F$ )公式的推导:(算图3)

烟囱筒身的截面积是两个同心圆面积之差(即宽度为筒身厚的圆环面积), 因为宽度不同, 所以各段計算公式也有所不同。

第一段 ( $h$ 为0~14m),

$$F = \pi d(D + 0.06h + d),$$

第二段 (14~28m),

$$F = \pi d(D + 0.06h + d) + \frac{\pi}{2}d\left(D + 0.06h - \frac{d}{2}\right),$$

第三段 ( $h$ 为28~42m),

$$F = \pi d(D + 0.06h + d) + \frac{\pi}{2}d\left(D + 0.06h - \frac{d}{2}\right) + \frac{\pi}{2}d\left(D + 0.06h - \frac{3}{2}d\right),$$

第四段 ( $h$ 为42~60m),

$$F = \pi d(D + 0.06h + d) + \frac{\pi}{2}d\left(D + 0.06h - \frac{d}{2}\right) \\ + \frac{\pi}{2}d\left(D + 0.06h - \frac{3}{2}d\right) + \frac{\pi}{2}d\left(D + 0.06h - \frac{5}{2}d\right).$$

## 3. 屈折系数( $\varphi$ )

細长比的計算公式是  $\frac{h}{D + 0.06h + 0.48}$

細长比和屈折系数的关系如表1所示。

表 1

細长比	屈折系数	細长比	屈折系数
4	0.99	11	0.86
5	0.98	12	0.84
6	0.96	13	0.81
7	0.94	14	0.79
8	0.92	15	0.77
9	0.90	16	0.75
10	0.88	17	0.73

根据细长比和屈折系数的关系作出 $\varphi$ 值表(见表2)。

表 2

$\varphi$	D(m)	1.0	1.1	1.2	1.3	1.4	1.5	1.6	1.7	1.8	1.9	2.0				
$h(m)$		5	10	14	15	18	24	28	29	32	37	42	43	48	54	60
5		1.00	1.00	1.00	1.00	1.00	1.00	1.00	1.00	1.00	1.00	1.00	1.00	1.00	1.00	1.00
10		0.98	0.98	0.99	0.99	0.99	1.00	1.00	1.00	1.00	1.00	1.00	1.00	1.00	1.00	1.00
14		0.96	0.97	0.97	0.97	0.98	0.98	0.98	0.98	0.99	0.99	0.99	0.99	0.99	0.99	0.99
15		0.95	0.96	0.96	0.96	0.97	0.97	0.98	0.98	0.98	0.98	0.98	0.98	0.98	0.99	0.99
18		0.94	0.94	0.95	0.95	0.96	0.96	0.97	0.97	0.97	0.97	0.97	0.98	0.98	0.98	0.98
24		0.92	0.92	0.93	0.94	0.93	0.94	0.94	0.95	0.95	0.95	0.95	0.95	0.96	0.96	0.96
28		0.91	0.91	0.92	0.93	0.92	0.93	0.93	0.94	0.94	0.94	0.94	0.94	0.94	0.95	0.95
29		0.90	0.91	0.91	0.92	0.92	0.92	0.92	0.93	0.93	0.94	0.94	0.94	0.94	0.94	0.94
32		0.89	0.90	0.90	0.91	0.91	0.91	0.92	0.92	0.92	0.93	0.93	0.93	0.93	0.93	0.93
37		0.88	0.89	0.89	0.90	0.90	0.90	0.90	0.91	0.91	0.92	0.92	0.92	0.92	0.92	0.92
42		0.87	0.88	0.88	0.89	0.89	0.89	0.89	0.90	0.90	0.90	0.90	0.91	0.91	0.91	0.91
43		0.87	0.87	0.88	0.88	0.89	0.89	0.89	0.90	0.90	0.90	0.90	0.91	0.91	0.91	0.91
48		0.86	0.86	0.87	0.87	0.88	0.88	0.88	0.89	0.89	0.89	0.89	0.90	0.90	0.90	0.90
54		0.85	0.86	0.86	0.86	0.87	0.87	0.87	0.88	0.88	0.88	0.88	0.89	0.89	0.89	0.89
60		0.84	0.85	0.85	0.86	0.86	0.87	0.87	0.87	0.88	0.88	0.88	0.88	0.88	0.88	0.88

4. 根据 $V_1$ 、 $F$ 的分段应力 $\sigma'_1$ 也相应地分为四段进行计算(公式从略)。可以作出算图1。

$\sigma'_1$ 是D及 $h$ 的一个二元函数，为了简化问题，我们取定D值将 $\sigma'_1=f(D \cdot h)$ ，化为一个 $\sigma'_{1i}=g(h)(i=1 \dots 11)$ 的单元函数来作图；在作图过程中，我们发现在同一高度不同口径的 $\sigma'_{1i}(i=1 \dots 11)$ 的值非常相近，当我们取其平均值把十一个图合成一个图时，其最大误差是3.6%(一般在2%左右)。

(二) 里衬的重量作用在筒身上的应力( $\sigma''_1$ )，其计算公式如下：

$$\sigma''_1 = \frac{N_2}{\varphi F}$$

下部(0.24m的里衬)的重量作用于地基，所以 $N_2$ 只考虑其上部(0.12m的里衬)的重量。

为了简化问题，我们把图10梯形状的里衬看为图11形状来计算(误差可以忽略)。

这样，里衬重量的计算就与筒身的重量计算相似，只不过相应的口径变化而已。

上部里衬口径(见图12)的求法是：

$$D' = D + 0.06h - 0.34 \text{ (第一段);}$$

$$D' = D + 0.06h - 0.34 - 0.24 = D + 0.06h - 0.58 \text{ (第二段);}$$

$$D' = D + 0.06h - 0.34 - 0.49 = D + 0.06h - 0.83 \text{ (第三段);}$$



图 10 里衬形状图



图 11 简化后的里衬形状图

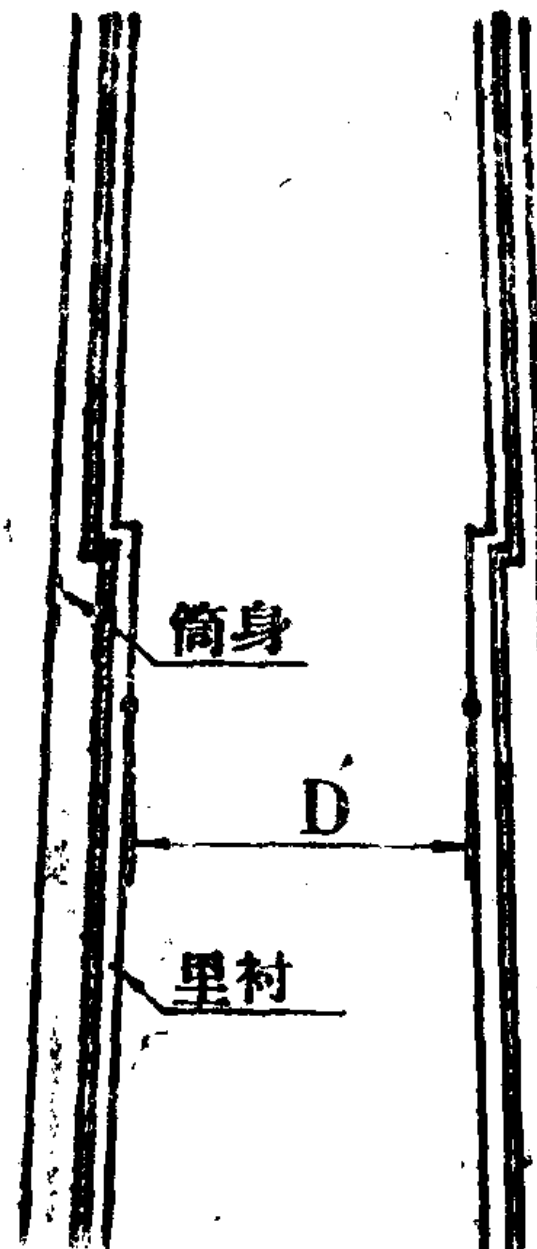


图 12 里衬D径示意图

$$D' = D + 0.06h - 0.34 - 0.73 = D + 0.06h - 1.07 \text{ (第四段).}$$

下部里衬口径的求法:

$$D'' = D + 0.06h - 0.1 - 0.49 - 0.24 = D + 0.06h - 0.83 \text{ (第二段);}$$

$$D'' = D + 0.06h - 0.59 - 0.49 = D + 0.06h - 1.08 \text{ (第三段);}$$

$$D'' = D + 0.06h - 0.59 - 0.73 = D + 0.06h - 1.32 \text{ (第四段).}$$

根据这些公式，我們就可以找出所有烟囱的里衬口径的最大值及最小值:

上部里衬口径一般介于1.26m和3.56m之間;

下部里衬口径一般介于1.36m和3.84m之間。

我們在最大值、最小值之間适当取若干个值代表不同的D'(或D'')分別作出里衬上、下部的重量图，见算图4(I和II)。

$$\text{由公式 } N_2 = 1.8 \times V_2 = 1.8 \times \pi \frac{d}{2} h \left( D' + \frac{d}{2} + 0.03h \right)$$

說明：当h为定值(即为同一高度)时，N<sub>2</sub>是D'(或D'')的一次函数，所以当D'(或D'')等差变化时，N<sub>2</sub>也等差变化。这样我們可以在算图4(I、II)中利用插入法正确地找出那些在算图4(I、II)中沒有表示出来的D'(或D'')所对应的N<sub>2</sub>的值。

根据需要，我們在算图4(I)上找出相应高度的重量，并在算图3上找出F值，在表